

С. А. КАЛОЕРОВ

## РАСПРЕДЕЛЕНИЕ НАПРЯЖЕНИЙ В АНИЗОТРОПНОЙ ПОЛУПЛОСКОСТИ С ЭЛЛИПТИЧЕСКИМ УПРУГИМ ЯДРОМ

В работе [1] рассмотрена задача о напряженном состоянии анизотропной полу平面 с эллиптическим отверстием. Здесь решена задача о напряженном состоянии такой же полу平面 в случае, когда отверстие подкреплено упругим ядром, которое изготовлено из другого анизотропного материала.

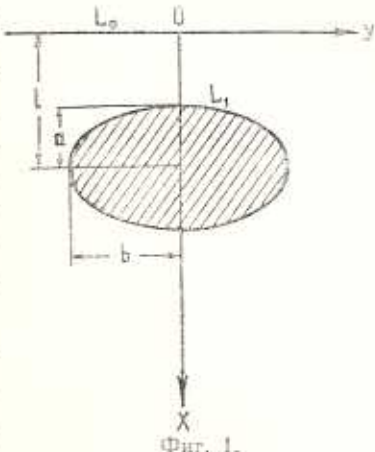
§ 1. Рассмотрим упругую анизотропную полу平面 с эллиптическим отверстием, полуоси которого равны  $a$  и  $b$ . Обозначим расстояние между центром отверстия и границей полу平面 через  $l$ , контур эллиптического отверстия — через  $L_1$ , границу полу平面 — через  $L_0$  (фиг. 1).

Пусть в отверстие без предварительного напряжения вляяно или вклеено ядро из другого анизотропного материала. Полу平面 подвержена действию внешних усилий, действующих вдали от отверстия.

Определение напряженного состояния полу平面 и ядра, как известно, приводится к нахождению функций комплексных переменных  $\Phi_j(z_j)$  и  $\Psi_j(z_j^1)$

( $j = 1, 2$ ), удовлетворяющих следующим условиям\* [3]:

$$\begin{aligned} 2 \operatorname{Re} [\Phi_1(z_1) + \Phi_2(z_2)] &= 0 && \text{на } L_0 \\ 2 \operatorname{Re} [\mu_1 \Phi_1(z_1) - \mu_2 \Phi_2(z_2)] &= 0 && \end{aligned} \quad (1.1)$$



Фиг. 1.

$$2 \operatorname{Re} [\Phi_1(z_1) + \Phi_2(z_2)] = f_{11} - 2 \operatorname{Re} [\Psi_1(z_1^1) + \Psi_2(z_2^1)]$$

$$2 \operatorname{Re} [\mu_1 \Phi_1(z_1) + \mu_2 \Phi_2(z_2)] = f_{12} + 2 \operatorname{Re} [\mu_1 \Psi_1(z_1^1) + \mu_2 \Psi_2(z_2^1)] \quad \text{на } L_1$$

$$2 \operatorname{Re} [p_1 \Phi_1(z_1) + p_2 \Phi_2(z_2)] = -u_0 + 2 \operatorname{Re} [p_1 \Psi_1(z_1^1) + p_2 \Psi_2(z_2^1)] \quad (1.2)$$

$$2 \operatorname{Re} [q_1 \Phi_1(z_1) + q_2 \Phi_2(z_2)] = -v_0 + 2 \operatorname{Re} [q_1 \Psi_1(z_1^1) + q_2 \Psi_2(z_2^1)]$$

Здесь  $f_{11}$  ( $i = 1, 2$ ) — функции, характеризующие загружения сплошной полу平面;  $u_0$  и  $v_0$  — проекции смещения в сплошной

\* Здесь и в дальнейшем величины с индексом 1 вверху относятся к ядру, а без индексов — к полу平面.

полуплоскости, возникшие под действием внешних усилий;  $\nu_k$  и  $\nu_k^1$  — комплексные параметры для полуплоскости и ядра, их будем в дальнейшем считать чисто мнимыми, т. е.  $\nu_1 = i\beta$ ,  $\nu_1^1 = i\beta^1$ ,  $\nu_2 = i\delta$ ,  $\nu_2^1 = i\delta^1$ ; наконец, постоянные  $p_j$  и  $q_j$  определяются по следующим формулам [3]:

$$p_j = a_{1j} - a_{11} \frac{\beta^2}{\beta}, \quad p_2 = a_{12} - a_{11} \frac{\beta^2}{\beta}$$

$$q_1 = i \left( a_{12} \beta - \frac{a_{22}}{\beta} \right), \quad q_2 = i \left( a_{12} \delta - \frac{a_{22}}{\delta} \right)$$

Параметры  $p_j^1$  и  $q_j^1$  получаются из  $p_j$  и  $q_j$ , если заменить в последних  $a_{ik}$ ,  $\beta$  и  $\delta$  на  $a_{ik}^1$ ,  $\beta^1$  и  $\delta^1$ . Коэффициенты  $a_{ik}$  и  $a_{ik}^1$  — упругие постоянные соответственно полуплоскости и ядра.

Функции  $\Phi_j(z_j)$  определены в областях  $S_j$ , получаемых из данной области путем использования аффинных преобразований вида  $z_j = x + \nu_j y$ . В этих областях будем иметь полуплоскости с эллиптическими отверстиями, полуоси которых будут соответственно  $a$ ,  $\beta b$  и  $a$ ,  $\delta b$ . При этом расстояния от центров эллипсов до границ полуплоскостей не изменяются и будут равны  $l$ . Функции же  $\Psi_j(z_j)$  определены и голоморфны в эллипсах, получаемых из заданного эллипса аффинными преобразованиями  $z_j^* = z_j + \nu_j^1 y$ .

Функции  $\Phi_j(z_j)$  будем искать в виде

$$\Phi_j(z_j) = \Phi_{j0}(z_j) + \Phi_{j1}(z_j) \quad (1.3)$$

где  $\Phi_{j0}(z_j)$  — функции, голоморфные в нижних полуплоскостях, а  $\Phi_{j1}(z_j)$  — вне контуров эллиптических отверстий в областях  $S_j$ . Последние представим так:

$$\Phi_{j1}(z_j) = \sum_{k=1}^{\infty} \frac{a_k}{[\zeta_k(z_j)]^k}, \quad \Phi_{j1}(z_j) = \sum_{k=1}^{\infty} \frac{b_k}{[\zeta_k(z_j)]^k} \quad (1.4)$$

Здесь  $a_k$  и  $b_k$  — произвольные комплексные постоянные, подлежащие определению,  $z_j^* = z_j - l$ , а  $\zeta_k$  связаны с  $z_j^*$  следующими неявными зависимостями:

$$z_j^* = m_0 \zeta_k + \frac{m_1}{\zeta_k}, \quad z_j^* = n_0 \zeta_k + \frac{n_1}{\zeta_k} \quad (1.5)$$

При этом

$$m_0 = \frac{a + \beta b}{2}, \quad m_1 = \frac{a - \beta b}{2}, \quad n_0 = \frac{a - \delta b}{2}, \quad n_1 = \frac{a + \delta b}{2} \quad (1.6)$$

Из граничных условий (1.1) методом Н. И. Мусхелишвили [5] найдем

$$\begin{aligned}\Phi_{10}(z_1) &= \sum_{k=1}^{\infty} \left\{ \frac{l_1 \bar{a}_k}{[\zeta_1(z_1)]^k} + \frac{l_2 \bar{b}_k}{[\zeta_2(z_1)]^k} \right\} \\ \Phi_{20}(z_2) &= \sum_{k=1}^{\infty} \left\{ \frac{l_3 \bar{a}_k}{[\zeta_1(z_2)]^k} - \frac{l_4 \bar{b}_k}{[\zeta_2(z_2)]^k} \right\}\end{aligned}\quad (1.7)$$

где

$$l_1 = \frac{2+\delta}{3-\delta}, \quad l_2 = \frac{2\delta}{3-\delta}, \quad l_3 = \frac{2\delta}{\delta-3}.$$

Функции  $[\zeta_j(z_j)]^{-k}$  можно разложить внутри эллипсов в областях  $S_j$  в сходящиеся ряды по полиномам Фабера [4]

$$[\zeta_1(z_j)]^{-k} = \sum_{l=0}^{\infty} A_{kl}^{(1)} P_{jl}(z_j), \quad [\zeta_2(z_j)]^{-k} = \sum_{l=0}^{\infty} B_{kl}^{(1)} P_{jl}(z_j) \quad (1.8)$$

Через  $P_{jl}(z_j)$  здесь обозначены полиномы Фабера для эллипсов в областях  $S_j$ . Они связаны с  $\zeta_j$  простыми зависимостями:

$$P_{1l}(z_1) = \zeta_1^l + \frac{m^l}{\zeta_1^l}, \quad P_{2l}(z_2) = \zeta_2^l + \frac{n^l}{\zeta_2^l}, \quad \left( m = \frac{m_1}{m_0}, \quad n = \frac{n_1}{n_0} \right) \quad (1.9)$$

Теперь функции  $\Phi_j(z_j)$  в области сходимости разложений (1.8) примут вид:

$$\begin{aligned}\Phi_1(z_1) &= \sum_{k=1}^{\infty} \left\{ \frac{a_k}{\zeta_1^k} + \sum_{l=1}^{\infty} (l_1 A_{kl}^{(1)} \bar{a}_k + l_2 B_{kl}^{(1)} \bar{b}_k) P_{1l}(z_1) \right\} \\ \Phi_2(z_2) &= \sum_{k=1}^{\infty} \left\{ \frac{b_k}{\zeta_2^k} + \sum_{l=1}^{\infty} (l_3 A_{kl}^{(2)} \bar{a}_k - l_4 B_{kl}^{(2)} \bar{b}_k) P_{2l}(z_2) \right\}\end{aligned}\quad (1.10)$$

Функции  $\Psi_j(z_j^l)$  голоморфны в эллипсах, получаемых из данного эллипса путем использования аффинных преобразований  $z_j^l = x + \beta_j y$ . Поэтому их можно представить в виде рядов

$$\Psi_1(z_1^l) = \sum_{k=1}^{\infty} c_k P_{1k}^l(z_1^l), \quad \Psi_2(z_2^l) = \sum_{k=1}^{\infty} d_k P_{2k}^l(z_2^l) \quad (1.11)$$

где

$$P_{1k}^l(z_1^l) = \zeta_1^k + \frac{(m^l)^k}{\zeta_1^k}, \quad P_{2k}^l(z_2^l) = \zeta_2^k + \frac{(n^l)^k}{\zeta_2^k} \quad (1.12)$$

При этом  $\zeta_j$  связаны с  $z_j^l$  с помощью неявных зависимостей

$$z_1^l = m_0 \zeta_1 + \frac{m_1^l}{\zeta_1}, \quad z_2^l = n_0 \zeta_2 + \frac{n_1^l}{\zeta_2} \quad (1.13)$$

Постоянные  $m_0^l, m_1^l, n_0^l, n_1^l, m^l, n^l$  получаются из  $m_0, m_1, n_0, n_1, m, n$ , если в последних заменить  $\beta_j$  на  $\beta_j^l$ .

Если теперь подставить в граничные условия (1.2) выражения (1.10) и (1.11), то применением известного метода рядов для определения постоянных  $a_k$ ,  $b_k$ ,  $c_k$ ,  $d_k$  получим следующую бесконечную алгебраическую систему:

$$\begin{aligned} a_k - b_k - [(m^k)^* + 1] c_k - [(n^k)^* + 1] d_k + \sum_{p=1}^{\infty} [ (l_1 m^k A_{pk}^{(1)} + l_3 n^k A_{pk}^{(2)}) \bar{a}_p + \\ - (l_1 A_{pk}^{(1)} - l_3 A_{pk}^{(2)}) a_p + (l_2 m^k B_{pk}^{(1)} - l_1 n^k B_{pk}^{(2)}) \bar{b}_p + \\ + (l_2 B_{pk}^{(1)} - l_1 B_{pk}^{(2)}) b_p ] = z_k \end{aligned} \quad (1.14)$$

$$\beta a_k - \delta b_k - \beta^* [(m^k)^* - 1] c_k - \delta^* [(n^k)^* - 1] d_k + \sum_{p=1}^{\infty} [ (\beta l_1 m^k A_{pk}^{(1)} +$$

$$- \delta l_3 n^k A_{pk}^{(2)}) \bar{a}_p - (\beta l_1 A_{pk}^{(1)} + \delta l_3 A_{pk}^{(2)}) a_p + (\beta l_2 m^k B_{pk}^{(1)} - \\ - \delta l_1 n^k B_{pk}^{(2)}) \bar{b}_p - (\beta l_2 B_{pk}^{(1)} - \delta l_1 B_{pk}^{(2)}) b_p ] = \beta_z$$

$$\begin{aligned} p_1 a_k + p_2 b_k - p_1^* [(m^k)^* + 1] c_k - p_2^* [(n^k)^* + 1] d_k + \sum_{p=1}^{\infty} [ (p_1 l_1 m^k A_{pk}^{(1)} + \\ + p_2 l_3 n^k A_{pk}^{(2)}) \bar{a}_p + (p_1 l_1 A_{pk}^{(1)} + p_2 l_3 A_{pk}^{(2)}) a_p + (p_1 l_2 m^k B_{pk}^{(1)} - \\ - p_2 l_1 n^k B_{pk}^{(2)}) \bar{b}_p + (p_1 l_2 B_{pk}^{(1)} - p_2 l_1 B_{pk}^{(2)}) b_p ] = \gamma_k \end{aligned}$$

$$\begin{aligned} q_1^* a_k - q_2^* b_k - q_1^* [(m^k)^* - 1] c_k - q_2^* [(n^k)^* - 1] d_k + \sum_{p=1}^{\infty} [ (q_1^* l_1 m^k A_{pk}^{(1)} + \\ + q_2^* l_3 n^k A_{pk}^{(2)}) \bar{a}_p - (q_1^* l_1 A_{pk}^{(1)} + q_2^* l_3 A_{pk}^{(2)}) a_p + (q_1^* l_2 m^k B_{pk}^{(1)} - \\ - q_2^* l_1 n^k B_{pk}^{(2)}) \bar{b}_p - (q_1^* l_2 B_{pk}^{(1)} - q_2^* l_1 B_{pk}^{(2)}) b_p ] = \delta_k \end{aligned}$$

также

$$q_k^* = -i q_z$$

Производя над системой (1.14) некоторые алгебраические преобразования, запишем ее в виде

$$\begin{aligned} a_k + \sum_{p=1}^{\infty} [ (t_{11} A_{pk}^{(1)} + t_{12} A_{pk}^{(2)}) \bar{a}_p + (t_{13} A_{pk}^{(1)} + t_{14} A_{pk}^{(2)}) a_p + \\ + (t_{15} B_{pk}^{(1)} + t_{16} B_{pk}^{(2)}) \bar{b}_p + (t_{17} B_{pk}^{(1)} - t_{18} B_{pk}^{(2)}) b_p ] = z_k^* \end{aligned} \quad (1.15)$$

$$b_k + \sum_{p=1}^{\infty} [ (t_{21} A_{pk}^{(1)} + t_{22} A_{pk}^{(2)}) \bar{a}_p + (t_{23} A_{pk}^{(1)} + t_{24} A_{pk}^{(2)}) a_p +$$

$$\begin{aligned}
 & + (t_{23}B_{pk}^{(1)} + t_{26}B_{pk}^{(2)})\bar{b}_p + (t_{21}B_{pk}^{(1)} + t_{25}B_{pk}^{(2)})b_p] = \beta_k^* \\
 c_k = \gamma_k^* + \sum_{p=1}^{\infty} & [(s_{11}A_{pk}^{(1)} + s_{12}A_{pk}^{(2)})\bar{a}_p + (s_{13}A_{pk}^{(1)} + s_{14}A_{pk}^{(2)})a_p + \\
 & + (s_{15}B_{pk}^{(1)} + s_{16}B_{pk}^{(2)})\bar{b}_p + (s_{17}B_{pk}^{(1)} + s_{18}B_{pk}^{(2)})b_p] \quad (1.16) \\
 d_k = \delta_k^* + \sum_{p=1}^{\infty} & [(s_{21}A_{pk}^{(1)} + s_{22}A_{pk}^{(2)})\bar{a}_p + (s_{23}A_{pk}^{(1)} + s_{24}A_{pk}^{(2)})a_p + \\
 & + (s_{25}B_{pk}^{(1)} + s_{26}B_{pk}^{(2)})\bar{b}_p + (s_{27}B_{pk}^{(1)} + s_{28}B_{pk}^{(2)})b_p]
 \end{aligned}$$

Постоянные  $\gamma_k^*$ ,  $\beta_k^*$ ,  $\gamma_k$ ,  $\delta_k$  зависят от правых частей системы (1.14) и от упругих постоянных полуплоскости и ядра. Коэффициенты же  $t_{in}$  и  $s_{in}$  ( $i = 1, 2$ ;  $n = 1, 2, \dots, 8$ ) зависят только от упругих постоянных полуплоскости и ядра.

Учитывая, что коэффициенты  $t_{in}$  остаются ограниченными при  $k \rightarrow \infty$ , можно доказать так же, как и в работе [2], что система (1.15) является квазирегулярной. Поэтому ее можно решать методом редукции.

После определения из системы (1.15) коэффициентов  $a_k$ ,  $b_k$  функции  $\Phi_j(z_j)$  становятся известными. Через них напряжения, возникающие в полуплоскости, выражаются следующим образом:

$$\begin{aligned}
 \sigma_x &= \sigma_x^0 - 2 \operatorname{Re} [\beta_1^* \Phi_1'(z_1) + \delta_1^* \Phi_2'(z_2)] \\
 \sigma_y &= \sigma_y^0 + 2 \operatorname{Re} [\Phi_1'(z_1) + \Phi_2'(z_2)] \quad (1.17) \\
 \tau_{xy} &= \tau_{xy}^0 - 2 \operatorname{Re} [i\beta_1^* \Phi_1'(z_1) + i\delta_1^* \Phi_2'(z_2)]
 \end{aligned}$$

Здесь  $\sigma_x^0$ ,  $\sigma_y^0$ ,  $\tau_{xy}^0$  — напряжения, возникающие в сплошной полуплоскости, а функции  $\Phi_j'(z_j)$  выражаются через  $\zeta_j$  так:

$$\Phi_1'(z_1) = \sum_{k=1}^{\infty} \left\{ \frac{a_k}{(m_1 - m_0 z_1^2) \zeta_1^{k-1}} - \frac{l_1 \bar{a}_k}{(m_1 - m_0 z_1^2) \bar{\zeta}_1^{k-1}} - \frac{i_1 l_2 \bar{b}_k}{(n_1 - n_0 z_2^2) \bar{\zeta}_2^{k-1}} \right\} \quad (1.18)$$

где

$$\zeta_1(z_1) = \frac{z_1 - l \pm \sqrt{(z_1 - l)^2 - 4m_0 m_1}}{2m_0}$$

$$\bar{\zeta}_1(z_1) = -\frac{z_1 + l + \sqrt{(z_1 + l)^2 - 4m_0 m_1}}{2m_0}$$

$$\zeta_2(z_1) = -\frac{i_1 z_1 + l + \sqrt{(i_1 z_1 + l)^2 - 4n_0 n_1}}{2n_0}$$

$$i_1 = \frac{\delta_1^*}{\beta_1^*}$$

В первом выражении знак перед радикалом следует выбрать таким образом, чтобы большим значениям  $|z_1|$  соответствовали большие значения  $|z_1|$ .

Выражение для определения  $\Phi_z(z_2)$  получим из выражения (1.18), если поменять в нем местами  $a_k$  и  $b_k$ ,  $z_1$  и  $z_2$ ,  $\beta$  и  $\delta$ .

Напряжения  $\sigma_x$ ,  $\sigma_y$ ,  $\tau_{xy}$ , действующие на пластинах, касательных и нормальных к контуру эллиптического отверстия, вычисляются по формулам

$$\begin{aligned}\sigma_x &= \frac{1}{L^2} (b^2 z_x \cos^2 \theta + a^2 z_y \sin^2 \theta + 2ab z_{xy} \sin \theta \cos \theta) \\ \sigma_y &= \frac{1}{L^2} (a^2 z_x \sin^2 \theta + b^2 z_y \cos^2 \theta - 2ab z_{xy} \sin \theta \cos \theta) \\ \tau_{xy} &= \frac{1}{L^2} [ab (\sigma_y - \sigma_x) \sin \theta \cos \theta + \tau_{xy} (b^2 \cos^2 \theta - a^2 \sin^2 \theta)]\end{aligned}$$

Здесь

$$L^2 = a^2 \sin^2 \theta + b^2 \cos^2 \theta$$

Для определения напряжений в ядре по формулам (1.16) находим  $c_k$ ,  $d_k$ . После определения этих коэффициентов функции  $\Psi_j(z_j^1)$  становятся известными, и напряжения вычисляются по формулам

$$\begin{aligned}z_x^1 &= -2 \operatorname{Re} [(\beta^1)^2 \Psi_1(z_1^1) + (\delta^1)^2 \Psi_2(z_2^1)] \\ z_y^1 &= 2 \operatorname{Re} [\Psi_1'(z_1^1) + \Psi_2'(z_2^1)] \\ z_{xy}^1 &= -2 \operatorname{Re} [i \beta^1 \Psi_1(z_1^1) + i \delta^1 \Psi_2(z_2^1)]\end{aligned}$$

Функции  $\Psi_j(z_j^1)$  получаются дифференцированием выражений (1.11). При этом производные от полиномов Фабера находятся по рекуррентным формулам

$$\begin{aligned}P_{j0}^{(1)} &= 0, \quad P_{j1}^{(1)} = 1 \\ P_{jk+1}^{(1)} &= P_{jk}^{(1)} + z_j^1 P_{jk}^{(1)} - r_j P_{jk-1}^{(1)} \quad (k \geq 1) \\ r_1 &= m^1, \quad r_2 = n^1\end{aligned}$$

Из системы (1.14) легко получить систему для определения постоянных  $a_k$ ,  $b_k$  для случая, когда ядро является абсолютно жестким или абсолютно гибким. В первом случае нужно положить во всех формулах  $a_{ik}^1 = 0$ , а во втором — перейти к пределу при  $a_{ik}^1 \rightarrow \infty$ .

§ 2. Пусть полу平面 растягивается усилиями интенсивности  $p$ , приложенными к ней на бесконечности параллельно ее границе.

В этом случае

$$\begin{aligned}\sigma_x^0 &= \sigma_{xy}^0 = 0, \quad \sigma_y^0 = p \\ z_1 &= -\frac{a}{2}, \quad \beta_1 = 0, \quad \gamma_1 = -\frac{a}{2} a_{12}, \quad z_1 = -\frac{b}{2} a_{22} \\ z_k &= \beta_k = \gamma_k = b_k = 0 \quad (k \geq 2)\end{aligned} \tag{2.1}$$

Для такого загружения, как видно из системы (1.14), коэффициенты  $a_k$ ,  $b_k$ ,  $c_k$ ,  $d_k$  получаются вещественными, и системы (1.14) и (1.15) несколько упрощаются.

При проведении расчетов было принято, что упругие постоянные для ядра пропорциональны упругим постоянным для полуплоскости, т. е.

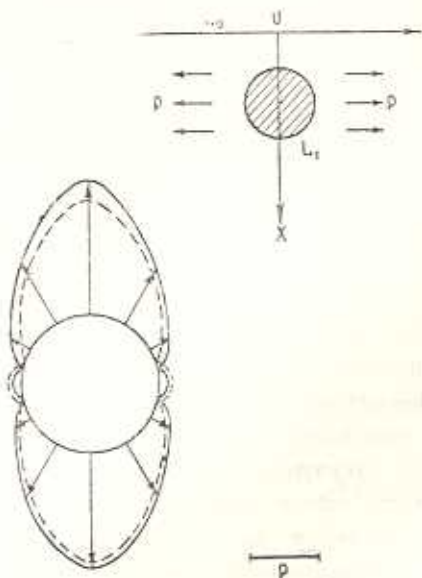
$$a_{ik}^1 = i a_{ik} \quad (2.2)$$

Нами в широких пределах варьировалось расстояние  $l$  между центром эллиптического отверстия и границей полуплоскости, а также коэффициент пропорциональности  $\lambda$  и отношение  $c = b/a$ . Полуплоскость считалась изготовленной из различных ортотропных материалов. Все вычисления по определению напряжений запрограммированы и проводились на быстродействующей электронной вычислительной машине Урал-2. Незначительную часть проведенных расчетов приводим ниже. Во всех случаях, если противное не оговорено, полуплоскость считалась изготовленной из авиационной фанеры, для которой  $\beta = 4.11$ ,  $\delta = 0.343$ .

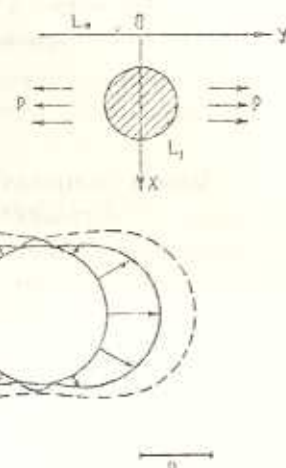
В полученном нами решении граничные условия на границе полуплоскости  $L_0$  удовлетворялись точно, а в точках  $L_1$  на поверхности контакта полуплоскости и ядра—приближенно, т. к. бесконечная алгебраическая система (1.15) при проведении вычислений была урезана. Количество уравнений при ее решении варьировалось от двух до двадцати восьми, т. е. увеличивалось до тех пор, пока граничные условия на  $L_1$  не удовлетворялись с очень высокой точностью. Точность выполнения граничных условий в отдельных точках спая контролировалась вычислением напряжений  $\sigma_r$ ,  $\tau_{\theta}$  в полуплоскости и  $\sigma_r^1$ ,  $\tau_{\theta}^1$  в ядре.

В табл. 1 даны значения напряжений  $\sigma_r$  и  $\tau_{\theta}$ , действующих соответственно на площадках, касательных и нормальных к контуру кругового отверстия для разных расстояний между центром отверстия и границей полуплоскости, а на фиг. 2 изображен график распределения напряжений  $\sigma_r$  при  $l = 1.1a$ . Пунктирная линия на графике относится к случаю, когда вместо полуплоскости рассматривается плоскость с таким же ядром. Здесь и ниже, если противное не оговорено, ядро считали изготовленным из такого материала, для которого упругие постоянные  $a_{ik}^1 = 2a_{ik}$ . Как видно из таблицы и графика, прямолинейная граница оказывает незначительное влияние на концентрацию напряжений.

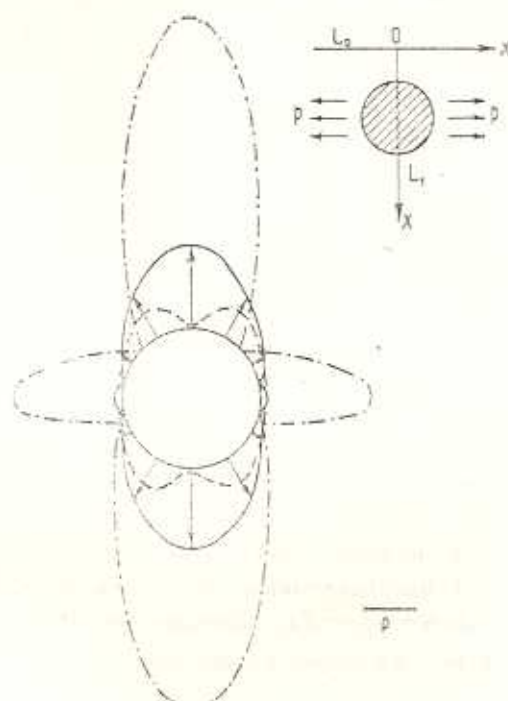
В табл. 2 приведены значения напряжений  $\sigma_r$  и  $\tau_{\theta}$  для разных жесткостей ядра, когда  $l = 1.5a$ . Значение  $\lambda = 0$  относится к случаю абсолютно жесткого ядра, а  $\lambda = \infty$  — к случаю, когда ядро отсутствует. На фиг. 3, 4 изображены графики распределения напряжений  $\sigma_r$  и  $\tau_{\theta}$ , когда  $\lambda = 2$ , т. е.  $a_{ik}^1 = 2a_{ik}$ . Здесь же пунктирной и штрих-пунктирной линиями проведены графики распределения этих напря-



Фиг. 2.



Фиг. 3.



Фиг. 4.

жений, соответствующие случаям, когда ядро абсолютно жесткое и когда ядро абсолютно гибкое. Значения напряжений  $\sigma_y$  в точках перемычки (в этих точках напряжения  $\sigma_x$  малы, а  $\tau_{xy}$  равны нулю) для случая абсолютно жесткого, упругого и абсолютно гибкого ядра приведены в табл. 3.

Таблица 1

$\theta$	$U/a$	2		1.5		1.1		1.05	
		$z_r$	$z_b$	$z_r$	$z_b$	$z_r$	$z_b$	$z_r$	$z_b$
0	-0.040	1.614	-0.039	1.620	-0.022	1.633	-0.014	1.636	
30	0.172	0.868	0.175	0.873	0.187	0.882	0.191	0.884	
60	0.595	0.265	0.599	0.272	0.610	0.283	0.612	0.283	
90	0.809	-0.124	0.815	-0.113	0.830	-0.098	0.834	-0.098	
120	0.602	0.255	0.612	0.259	0.638	0.268	0.645	0.266	
150	0.174	0.867	0.180	0.880	0.207	0.931	0.217	0.941	
180	-0.049	1.635	-0.050	1.672	-0.031	1.897	-0.019	2.079	

Таблица 2

$i$	0		0.1		0.5		1		2		10		$\infty$
	$z_r$	$z_b$	$z_r$	$z_b$	$z_r$	$z_b$	$z_r$	$z_b$	$z_r$	$z_b$	$z_r$	$z_b$	
0	0.070	0.002	0.060	0.129	0.290	0.568	0	1	-0.039	1.620	-0.096	3.273	4.553
30	0.381	0.558	0.364	0.582	0.305	0.666	0.250	0.750	0.175	0.873	0.016	1.215	1.491
60	1.000	0.217	0.968	0.221	0.857	0.236	0.750	0.250	0.599	0.272	0.226	0.330	0.325
90	1.299	0.092	1.261	0.085	1.129	0.052	1	0	0.815	-0.114	0.333	-0.783	-2.157
120	0.969	0.203	0.941	0.210	0.845	0.233	0.750	0.250	0.612	0.259	0.249	0.118	-0.406
150	0.366	0.523	0.351	0.555	0.300	0.655	0.250	0.750	0.180	0.880	0.028	1.116	0.971
180	0.082	0.003	0.072	0.123	0.036	0.554	0	1	-0.050	1.672	-0.126	3.733	5.959

Таблица 3

$\varphi$	$U/a$	Жесткое ядро			Упругое ядро			Свободное отверстие		
		2	1.5	1.1	2	1.5	1.1	2	1.5	1.1
0		0.965	0.733	0.224	1.046	1.143	1.640	0.675	0.557	0.215
1/4 ( $l-1$ )		0.942	0.711	0.213	1.079	1.173	1.650	1.267	1.488	2.612
1/2 ( $l-1$ )		0.917	0.654	0.179	1.111	1.218	1.687	1.555	2.106	4.814
3/4 ( $l-1$ )		0.842	0.520	0.115	1.184	1.313	1.760	2.047	2.958	7.351
$l-1$		0.003	0.003	0.001	1.635	1.672	1.897	4.966	5.959	11.158

Таблица 4

$\varphi$	$U/a$	0.2		0.5		1		2		5	
		$z_r$	$z_b$	$z_r$	$z_b$	$z_r$	$z_b$	$z_r$	$z_b$	$z_r$	$z_b$
0	-0.006	1.892	-0.031	1.766	-0.039	1.620	-0.025	1.455	-0.006	1.262	
30	0.844	0.153	0.491	0.508	0.175	0.873	0.032	1.129	0.003	1.212	
60	0.934	-0.033	0.813	0.071	0.599	0.272	0.298	0.571	0.055	0.919	
90	0.948	-0.082	0.886	-0.117	0.815	-0.114	0.733	-0.093	0.631	-0.115	
120	0.938	-0.042	0.822	0.565	0.612	0.259	0.310	0.562	0.061	0.893	
150	0.850	0.139	0.499	0.497	0.180	0.880	0.034	1.161	0.000	1.241	
180	-0.018	1.909	-0.049	1.801	-0.050	1.672	-0.029	1.530	-0.006	1.385	

Таблица 5

$\varphi$	$\sigma_r$	Фанера, растянутая поперек волокон			СВАМ		
		0.2	1	5	0.2	1	5
0	1.921	1.698	1.328	1.866	1.560	1.230	
30	0.118	0.792	1.212	0.129	0.994	1.194	
60	-0.010	0.237	0.835	-0.522	0.259	1.003	
90	-0.032	-0.060	-0.030	-0.083	-0.152	-0.110	
120	-0.013	0.229	0.332	-0.063	0.226	0.966	
150	0.113	0.796	1.249	0.110	0.985	1.235	
180	1.934	1.741	1.434	1.889	1.623	1.395	

Из таблиц и графиков видно, что подкрепление отверстия упругим или жестким ядром значительно снижает концентрацию напряжений около отверстия и в точках перемычки и изменяет картину их распределения. Особенно эффективно влияние подкрепления для близких расстояний  $l$ . Полуплоскость с подкрепленным отверстием, когда упругие постоянные подкрепляющего ядра меньше упругих постоянных полуплоскости, можно считать плоскостью с таким же ядром, начиная уже с расстояний между границами  $L_0$  и  $L_1$ , равных полуоси  $a$ . Для полуплоскости же со свободным отверстием влияние границы  $L_0$  начинается гораздо раньше, и при сближении границ  $L_0$  и  $L_1$  сильно возрастает концентрация напряжений в точках перемычки, близких к точкам контура отверстия.

В табл. 4 приведены значения напряжений  $\sigma_r$  и  $\tau_{\theta}$  в случае растяжения полуплоскости из авиационной фанеры вдоль волокон рубашки ( $\beta = 4.11$ ,  $\delta = 0.343$ ) для различных значений отношения полуосей эллипса, когда  $l = 1.5a$ , в табл. 5 даны значения напряжений  $\tau_{\theta}$  для некоторых с при растяжении полуплоскости из фанеры поперек волокон рубашки ( $\beta = 0.243$ ,  $\delta = 2.91$ ) и слабоанизотропного стекловолокнистого материала СВАМ ( $\beta = 1.89$ ,  $\delta = 0.531$ ). Из таблиц видно, что величина отношения  $c$  и анизотропия незначительно влияют на концентрацию напряжений. Их влияние, как показывают расчеты, значительно возрастает в случае свободного отверстия. В этом случае в сильно анизотропной полуплоскости быстро возрастают напряжения в точках перемычки вблизи от контура эллиптического отверстия, когда  $c < 1$ .

Нами вычислялись также значения напряжений  $\tau_{\theta}$  на контуре сная. Они оказались значительно меньшими по сравнению с  $\sigma_r$  и  $\tau_{\theta}$  и потому их не приводим.

#### U. UK. 与英的中日

ԱՐՄԵՆԻԱՆ ԲԱՆԱՏՈՒԹՅՈՒՆՆԵՐԻ ԱՐԴՅՈՒՆՎԱՐԱԿԱՆ ԱՐԴՅՈՒՆՎԱՐԱԿԱՆ

## U. u i p n i p n i u

Դիտարկված է ելիապտիկ առաջդական միջուկ ունեցող անհղողություն կիսահարթության լարվածավայրին վիճակի խնդիրը:

կնդիրը բերվում է հանրահաշվական անվերջ սիստեմի լուծմանը: Ցայց  
է տրված արդ սիստեմի բաղականությանը թյունը:

Մանրամասն ուսումնառիրգութ է լարումների բաշխվածությունը միջմիանցող կիսահարթաթյունում՝ նրա զգման դեմքում:

S. A. KALOEROV

## DISTRIBUTION OF STRESSES IN THE ANISOTROPIC SEMI-PLANE WITH AN ELLIPTIC ELASTIC KERNEL.

### S u m m a r y

In this paper the strained state in the anisotropic semi-plane with elliptic kernel is considered.

The problem is reduced to the solution of an infinite system of algebraic equations. The quasi-regularity of this system is shown.

A detail analysis of the stress distribution in the semi-plane with the indicated kernel is examined.

Л И Т Е Р А Т У Р А

1. Космодамианский А. С. Упругое равновесие анизотропной полуплоскости, ослабленной эллиптическим отверстием. Тр. Груз. полит. ин-та, № 8 (1953), 1963.
  2. Космодамианский А. С. Квазирегулярность бесконечных систем в задачах о напряженном состоянии анизотропной среды с эллиптическими отверстиями. Прикл. мех., т. 1, вып. 10, 1965.
  3. Лехницкий С. Г. Анизотропные пластины. Гостехиздат, М., 1957.
  4. Маркевич А. И. Теория аналитических функций. Гостехиздат, М., 1950.
  5. Мусхелишвили Н. И. Некоторые основные задачи математической теории упругости. Изд-во АН СССР, М., 1954.